

02; 03

© 1991 г.

**ОСОБЕННОСТИ РАСПРОСТРАНЕНИЯ ИМПУЛЬСА ИЗЛУЧЕНИЯ  
С ДЛИНОЙ ВОЛНЫ  $\lambda=2.8-3.3$  мкм В СРЕДАХ,  
СОДЕРЖАЩИХ ПАРЫ ВОДЫ**

*B. A. Левин, A. A. Сорокин, A. M. Старик*

Рассмотрена задача о распространении импульса монохроматического излучения, генерируемого НФ лазером, в средах, близких по составу к влажной атмосфере. Показана возможность нестационарной самофокусировки при поглощении водяным паром излучения, частота которого удовлетворяет определенным условиям. Проанализировано влияние частоты излучения и диаметра пучка на динамику изменения интенсивности по трассе.

Водяной пар является основным атмосферным газом, поглащающим излучение ИК диапазона. Ранее в [1] было показано, что поглощение излучения с длиной волны  $\lambda=2.8-3.3$  мкм, генерируемого НФ лазером, приводит к возбуждению различных типов колебаний молекулы  $H_2O$  и, как следствие, к изменению показателя преломления. Возникновение нестационарной линзы в канале луча может приводить как к самофокусировке, так и к дефокусировке пучка. Изучению особенностей распространения монохроматического излучения с  $\lambda=2.8-3.3$  мкм в этих условиях и посвящена данная работа.

Распространение электромагнитной волны в немагнитной среде с диэлектрической проницаемостью  $\epsilon$  будем описывать в приближении квазиоптики [2, 3]. При анализе будем рассматривать случаи с осевой симметрией, когда  $\delta\epsilon \ll \epsilon_0$  ( $\delta\epsilon = \epsilon - \epsilon_0$ ) (здесь и далее индекс нуль относится к невозмущенной среде), а изменением волнового вектора  $k_0$  вдоль направления распространения  $OZ$  можно пренебречь. В [4] было показано, что при поглощении излучения газовыми средами с тепловым механизмом нелинейности показателя преломления (этот механизм важен и в рассматриваемом случае) изменением диэлектрической проницаемости во времени можно пренебречь, если интенсивность воздействующего излучения  $I$  меньше некоторого предельного значения  $I_{rp}$  (для рассматриваемых в работе условий  $I_{rp} \geq 10$  ГВт/см<sup>2</sup>). При этом уравнение для комплексной амплитуды  $A(z, r, t)$ , которая связана с  $I$  ( $I=(cn/8\pi)|A|^2$ ,  $c$  — скорость света,  $n$  — показатель преломления), имеет вид

$$2ik_0 \left( \frac{\partial}{\partial z} + \frac{n_0}{c} \frac{\partial}{\partial t} \right) A + \Delta_\perp A + \frac{\omega^2}{c^2} (\epsilon - n_0^2) A = 0, \\ \Delta_\perp = \frac{1}{r} \frac{\partial}{\partial r} \left( r \frac{\partial}{\partial r} \right). \quad (1)$$

Здесь  $k_0 = (\omega/c)n_0$ ,  $\omega$  — круговая частота электромагнитной волны, а диэлектрическая проницаемость среды — комплексная величина  $\epsilon = (n+ix)^2$ ,  $x = (k_0 c)/(2\omega)$ ,  $k$  — коэффициент поглощения.

Поглощение излучения НФ лазера парами воды происходит на колебательно-вращательных переходах полос  $0 \rightarrow \nu_1$ ,  $0 \rightarrow 2\nu_2$ ,  $0 \rightarrow \nu_3$  ( $\nu_1, \nu_2, \nu_3$  — нормальные частоты симметричных, деформационных и асимметричных колебаний  $H_2O$ ). При этом изменяются как действительная, так и мнимая части диэлектрической проницаемости. Поэтому для решения (1) необходимо задать определенную модель среды и определить основные механизмы изменения  $\epsilon$ . Будем рассматри-

вать среды, состоящие из газов  $H_2O$ ,  $N_2$ ,  $O_2$ . Комплексная диэлектрическая проницаемость газовой среды  $\epsilon$ , как известно, связана с поляризуемостью молекул [5]

$$\epsilon = 1 + \frac{4\pi\rho N_A}{\mu} \alpha,$$

где  $\rho$  — плотность,  $\mu$  — молекулярный вес смеси,  $N_A$  — число Авогадро,  $\alpha$  — поляризуемость молекул среды.

При поглощении излучения на некотором переходе  $m \rightarrow n$  можно выделить резонансную  $\alpha_m$  и нерезонансную  $\alpha_N$  части поляризуемости [5]

$$\alpha = \alpha_m + \alpha_N.$$

Для рассматриваемого диапазона длин волн

$$\alpha_N = \sum_{i=1}^3 (\alpha_0^i + \alpha_V^i) \gamma_i,$$

где  $\alpha_0$  — нерезонансная молекулярная поляризуемость среды при невозбужденном внутреннем движении молекул,  $\alpha_V$  характеризует вклад в нерезонансную часть поляризуемости колебаний молекул,  $\gamma_i$  — молярная доля  $i$ -го компонента смеси ( $i=1$  —  $H_2O$ ,  $2$  —  $N_2$ ,  $3$  —  $O_2$ ). В этом случае

$$n^2 - 1 = \frac{4\pi\rho N_A}{\mu} \operatorname{Re} \left[ \sum_{i=1}^3 (\alpha_0^i + \alpha_V^i) \gamma_i + \alpha_m \right].$$

Изменение показателя преломления ( $\delta n = n - n_0$ ) при этом будет определяться соотношением

$$\delta n = \frac{\delta\rho}{\rho_0} (n_0 - 1) + \frac{2\pi\rho_0 N_A}{\mu} \operatorname{Re} \left[ \sum_{i=1}^3 \delta\alpha_V^i \gamma_i + \delta\alpha_m \right].$$

В работе рассматриваются случаи, когда  $\delta\alpha_m \ll \sum_{i=1}^3 \gamma_i \delta\alpha_V^i$ , а изменение плотности определяется только тепловыми эффектами при поглощении.

Пусть длительность импульса воздействующего излучения удовлетворяет условию

$$\max(\tau_{RT}, \tau_{VV}) < \tau_u \ll \min(\tau_T, \tau_K, \tau_A),$$

где  $\tau_{RT}$  и  $\tau_{VV}$  — характерные времена вращательно-поступательной  $R-T$ -релаксации и внутримодового колебательно-колебательного  $V-V$ -обмена в молекуле  $H_2O$ ;  $\tau_T$ ,  $\tau_K$  и  $\tau_A$  — времена теплопроводности, конвекции и диффузии.

Пусть также время индуцированных переходов  $\tau_I$  существенно больше  $\tau_{RT}$  и  $\tau_{VV}$ . В этом случае для определения изменения состояния среды во времени справедлива следующая система уравнений [6]:

$$\frac{\partial n}{\partial t} = \frac{n_0 - 1}{\rho} \frac{\partial \rho}{\partial t} + \frac{2\pi\rho_0 R}{\mu K} \sum_i \gamma_i \sum_j \frac{q_j}{h_{VJ} a_j^2} (K_j + 3L_j + 2\varepsilon_j L_j) \frac{\partial \varepsilon_j}{\partial t}, \quad (2)$$

$$\left( \frac{\partial^2}{\partial t^2} - c_0^2 \Delta \right) \frac{\partial}{\partial t} \delta\rho = (x - 1) \Delta \left[ k_v I - \frac{\rho_0 R}{\mu K} \sum_i \sum_j h_{VJ} \frac{\partial \varepsilon_j}{\partial t} \gamma_i \right], \quad (3)$$

$$\rho_0 C_V \frac{\partial \delta T}{\partial t} - \frac{R}{\mu} T_0 \frac{\partial \delta \rho}{\partial t} \left[ k_v I - \frac{\rho_0 R}{\mu K} \sum_i \sum_j h_{VJ} \frac{\partial \varepsilon_j}{\partial t} \gamma_i \right], \quad (4)$$

$$\frac{\partial \varepsilon_j}{\partial t} = \frac{l_j}{\tau_I} + f_j,$$

$$\tau_I = \frac{\rho_0 h_{VJ} \gamma_1 R}{k_v l \mu K}, \quad \varepsilon_j = y_j (1 - y_j)^{-1}, \quad p = \frac{\rho R T}{\mu},$$

$$C_V = \frac{R}{\mu} \left( \frac{5}{2} + \frac{\gamma_1}{2} \right); \quad x = \frac{C_V + R/\mu}{C_V}, \quad c_0 = \sqrt{\frac{x}{\rho_0}},$$

$$\delta\rho = \rho - \rho_0, \quad \delta T = T - T_0; \quad k_s = \sum_j k_{s,j},$$

$$K_j = \left( \frac{\partial \alpha}{\partial Q_j} \right)_0^2 + \frac{h \nu_j}{2} \left( \frac{\partial^2 \chi}{\partial Q_j^2} \right)_0, \quad L_j = \frac{1}{8 \pi^2} \left( \frac{\partial^2 \alpha}{\partial Q_j^2} \right)_0^2,$$

$$k_{s,j} = \frac{\lambda_{mn}^j}{8\pi^3} \sqrt{\frac{\nu_1}{2RT}} A_{mn}^j \frac{\rho}{\mu} \frac{g_m^j}{Z_m^j} \left[ \exp\left(-\frac{E_{j'}}{kT}\right) - y_j \frac{Z_m^j}{Z_n^j} \exp\left(-\frac{E_{j''}}{kT}\right) \right] H_j(\nu_j),$$

$$Z_q = \prod_{i=1}^3 (1 - y_i)^{-1/2} \sqrt{\frac{\pi r^3}{A_q B_q C_q}}, \quad q = m, n. \quad (5)$$

Здесь  $\rho$ ,  $p$ ,  $T$  — плотность, давление, температура смеси;  $y_j = \exp(-h\nu_j/KT_j)$ , где  $\nu_j$  — нормальная частота,  $T_j$  — локальная колебательная температура  $j$ -го колебания,  $g_j$  — кратность его вырождения,  $h$  — постоянная Планка,  $K$  — постоянная Больцмана;  $a_j = 2\pi \sqrt{m_j \nu_j / h}$ , где  $m_j$  — приведенная масса  $j$ -го осциллятора ( $j=1, 2, 3$  соответствуют симметричному, деформационному и асимметричному типам колебаний  $H_2O$ , а  $j=4, 5$  — колебаниям молекул  $N_2$  и  $O_2$ );  $l_j$  — число колебательных квантов, приобретаемых модой  $j$  при индуцированных переходах;  $f_j$  — член, характеризующий изменение числа колебательных квантов в mode  $j$  вследствие процессов междумодового  $V-V'$ -обмена и колебательно-поступательной релаксации (конкретный вид  $f_j$  для смеси  $H_2O-N_2-O_2$  приведен в [1]);  $k_{s,j}$  — коэффициент поглощения излучения с частотой  $V_I$  на колебательно-вращательном переходе  $m \rightarrow n$   $j$ -й моды;  $\lambda_{mn}$  — длина волны излучения в центре линии этого перехода;  $A_{mn}$  — коэффициент Эйнштейна;  $g_m$  — кратность вырождения состояния  $m$ ;  $E_{j'}$  и  $E_{j''}$  — вращательные энергии молекулы  $H_2O$  в состояниях  $m$  и  $n$ ;  $A_q, B_q, C_q$  — вращательные постоянные молекулы  $H_2O$ ;  $H(\nu_I)$  — функция Фойхта;  $R$  — универсальная газовая постоянная. Коэффициенты  $(\partial \mu) / (\partial Q_j)_0^2$ ,  $(\partial^2 \alpha) / (\partial Q_j^2)_0$  и  $((\partial j\mu) / (\partial Q_j^2))_0^2$  определяют вклад молекулярных колебаний в поляризумость и гиперполяризумость молекул среды [7].

Система уравнений (1)–(5) является замкнутой относительно переменных  $A, T, \rho, n, \varepsilon_j$ . В общем случае решение этой системы уравнений возможно только численными методами. При этом основной трудностью является необходимость вычисления высокочастотных осцилляций фазы и амплитуды в плоскости, перпендикулярной направлению распространения, при интегрировании уравнения (1). Преобразование комплексной амплитуды  $A$ , основанное на точном аналитическом решении для гауссовых пучков, распространяющихся в однородной среде с постоянным коэффициентом поглощения, позволяет ограничиться вычислением изменения амплитуды и фазы электромагнитной волны, обусловленных только нелинейными эффектами [8]. Этот метод и использовался в данной работе. При этом удобно ввести новые переменные

$$r' = r/a \sqrt{D}, \quad i' = \frac{t - \frac{z n_0}{c}}{\tau_u},$$

$$z' = \operatorname{arctg} \left[ z \left( \frac{1}{k_0 a^2} + \frac{k_0 a^2}{f} \right) \right] + \operatorname{arctg} \frac{k_0 a^2}{z},$$

$$D = \left( \frac{z}{k_0 a^2} \right)^2 + \left( 1 - \frac{z}{f} \right)^2,$$

где  $a$  — характеристичный начальный радиус пучка,  $f$  — радиус кривизны фазового фронта.

В новых переменных уравнения (1), (3)–(5) примут вид (штрихи далее опускаем)

$$2i \frac{\partial A_1}{\partial z} + \Delta_{\perp} A_1 + A_1 \left[ D k_0^2 a^2 \left( \frac{\epsilon}{n_0^2} - 1 \right) + 2 - r^2 \right] = 0, \quad (6)$$

$$\square \Psi = \frac{\tau_u^2 (\kappa - 1)}{a^2 D} \Delta_{\perp} Q_V, \quad (7)$$

$$\rho_0 C_V \frac{\partial \delta T}{\partial t} - \frac{R}{\mu} T_0 \Psi = Q_V, \quad (8)$$

$$\frac{\partial \epsilon_j}{\partial t} = \frac{\tau_u l_j}{\tau_I} + \tau_u f_j,$$

$$A_1 = A \sqrt{D} \exp \left\{ -i \left[ \frac{zr^2}{2a^2 D k_0} - \arctg z \right] \right\},$$

$$\square = \frac{\partial^2}{\partial t^2} - \frac{c_0^2 \tau_u^2}{a^2 D} \Delta_{\perp}, \quad \Psi = \frac{\partial \delta \rho}{\partial t},$$

$$Q_V = \tau_u k_v I - \frac{\rho_0 R}{\mu k} \sum_i \sum_j h v_i \frac{\partial \epsilon_j}{\partial t} \gamma_j. \quad (9)$$

Уравнение (2) при этом свой вид не меняет. Будем рассматривать распространение только гауссовых пучков с плоским фазовым фронтом и прямоугольной формой импульса по времени (далее, где возможно, штрихи опускаем)

$$A_1(z=0, r, t) = A_0 \cdot \exp \left( -\frac{r^2}{2} \right).$$

Для таких пучков должны выполняться следующие начальные и граничные условия:

$$A_1(z, r, t=0) = 0, \quad T(z, r, t=0) = T_0,$$

$$\epsilon_j'(z, r, t=0) = \epsilon_{j0},$$

$$\Psi(z, r, t=0) = 0, \quad \frac{\partial \Psi}{\partial t}(z, r, t=0) = 0, \quad \rho(z, r, t=0) = \rho_0,$$

$$\frac{\partial \Psi}{\partial r}(z, r=0, t) = 0, \quad \frac{\partial A_1}{\partial r}(z, r=0, t) = 0,$$

$$\Psi(z, r=R_a, t) = 0, \quad T(z, r=R_a, t) = T_0,$$

$$\epsilon_j(z, r=R_a, t) = \epsilon_{j0}, \quad A_1(z, r=R_a, t) = 0,$$

где  $R_a = 4$ ,  $\epsilon_{j0} = \epsilon_j(T_0)$ .

Совместное решение уравнений (6)–(9) с учетом (2) проводилось итерационным методом. При численном интегрировании уравнения (6), так же как и в [8], на каждом шаге по  $z$  ( $h_z$ ) применялось преобразование

$$A_2 = A_1 \exp \left\{ \frac{h_z i}{4} \left[ r^2 - 2 - D k_0^2 a^2 \left( \frac{\epsilon}{n_0^2} - 1 \right) \right] \right\}.$$

Использовались безусловно устойчивые симметричные неявные разностные схемы второго порядка точности [9]. Необходимые для расчетов константы скоростей  $V$ — $V'$ - и  $V$ — $T$ -процессов и молекулярные постоянные были взяты такими же, как и в [1].

Рассмотрим сначала некоторые общие закономерности распространения импульса излучения в поглощающей газовой среде. При нестационарном самовоздействии характер распространения излучения определяется не только соотношением между характерными линейными размерами — длиной поглощения  $L$ , ( $L = k_v^{-1}$ ), дифракционной длиной  $L_D$  ( $L_D = k_0 a^2$ ) и фокусным расстоянием формирующейся в канале луча линзы  $L_F$  (как при стационарной фокусировке), но и характерными временами, определяющими зависимость  $\delta n(t)$ . В данной задаче — это время индуцированных переходов  $\tau_I$ , время релаксации поглощенной энергии  $\tau_p$  и время распространения акустических возмущений

поперек пучка  $\tau_s$  ( $\tau_s = a/c_0$ ). Наиболее интересный случай  $\tau_I < \tau_p$ . В зависимости от соотношения между этими временами можно выделить два характерных случая нестационарной самофокусировки  $\tau_p \ll \tau_s$  и  $\tau_p \gg \tau_s$ . В первом случае формирование фокусирующей линзы в канале луча обусловлено изменением поляризуемости среды вследствие возбуждения колебаний молекул смеси со скоростью  $\tau_I^{-1}$ , а во втором также и изменением плотности среды при распространении возмущений, обусловленных неоднородным изменением температуры по радиусу луча [8].

Охлаждение газа в канале луча для гауссовых пучков приводит к формированию фокусирующей линзы, а нагрев — дефокусирующей. Лишь при  $t \ll \tau_s$  и нагреве возможно существование области с  $\delta n > 0$ , появление которой

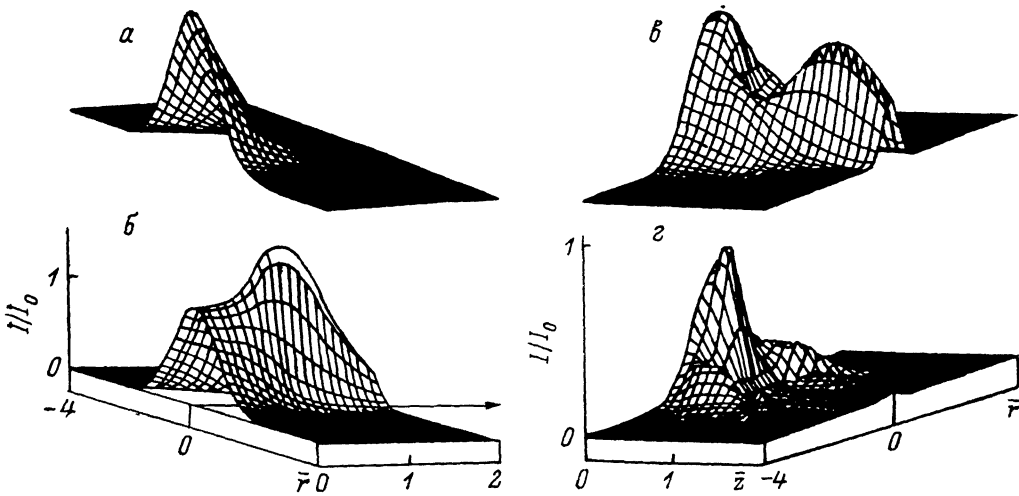


Рис. 1.

обусловлено изменением поляризуемости молекул среды вследствие возбуждения молекулярных колебаний  $\text{H}_2\text{O}$ .

Уменьшение поступательной температуры при поглощении излучения с  $\lambda \approx 2.8$  мкм в средах, содержащих пары воды, возможно только при выполнении условия  $E_{j''} - E_{j'} + h\Delta\nu < 0$ , где  $E_{j''}$  и  $E_{j'}$  — вращательные энергии верхнего и нижнего состояний поглощающего перехода,  $\Delta\nu = \nu_I - \nu_{m\mu}$  [1]. Глубина охлаждения изменяется с течением времени, а при  $t \geq \tau_p$  охлаждение сменяется нагревом.

Рассмотрим динамику распространения излучения HF лазера в однородной среде  $\text{H}_2\text{O}-\text{N}_2-\text{O}_2$ , близкой по составу к влажной атмосфере.

Динамику самофокусировки во времени и пространстве для случая  $\tau_p \ll \tau_s$  иллюстрирует рис. 1, *a*—*d*, на котором для излучения с  $\nu_I = 3645.28 \text{ см}^{-1}$  (линия P7 [1—0] HF лазера) и  $I_0 = 100 \text{ МВт/см}^2$  при  $a = 2 \text{ см}$  ( $L_D = 976.2 \text{ м}$ ), распространяющегося в смеси  $\text{H}_2\text{O}-\text{N}_2-\text{O}_2 = 0.01 : 0.79 : 0.2$  с  $T_0 = 300 \text{ К}$ ,  $p_0 = 10 \text{ КПа}$ , показаны распределения  $I/I_0 = f(r, \bar{z})$ ,  $r = r/a$ ,  $\bar{z} = z/L_D$ , в различные моменты времени  $t = t/\tau_p$  (соответственно  $t = 0, 4.5, 5.7, 8.1$ ). При указанных условиях  $\tau_p = 1 \text{ мкс}$ ,  $\tau_I = 1.2 \text{ мкс}$ ,  $\tau_s = 57.4 \text{ мкс}$ ,  $L_D = 702 \text{ м}$ . Рассматриваемое монохроматическое излучение поглощается на переходе 000 ( $4_{32}$ )  $\rightarrow$  001 ( $4_{13}$ ) молекулы  $\text{H}_2\text{O}$  ( $\nu_{m\mu} = 3645.37 \text{ см}^{-1}$ ), для него  $E_{j''} - E_{j'} + h\Delta\nu < 0$ , т. е. поглощение излучения сопровождается временным охлаждением среды. Из представленных распределений видно, что при  $t = 4.5$  максимальное значение  $I$  достигается при  $\bar{z} = 1$ , хотя вследствие дифракционного расплывания и поглощения величина интенсивности с увеличением  $\bar{z}$  должна уменьшаться. В результате самофокусировки величина  $I$  в сечении  $\bar{z} = 1$  при  $r = 0$  увеличилась в 3 раза. При  $t > 4.5$  вследствие нагрева среды на оси пучка в сечениях с  $\bar{z} < 1$  формируется область с  $\delta n < 0$ , в то же время при  $\bar{z} \geq 1$  в канале луча еще существует фокусирующая линза, поэтому при  $t = 5.7$  максимальное значение  $I$  на оси пучка достигается уже в се-

чении  $\bar{z}=1.5$ , а при  $\bar{z}=1$  величина  $I$  уменьшается. При  $t=5.7$  область с  $\delta n < 0$  распространяется на большие  $\bar{z}$ , при  $t=8.1$  интенсивность на оси резко уменьшается по всей длине трассы ( $\bar{z}=2$ ) вследствие теплового расплывания луча.

При  $\tau_s \ll \tau_p$  динамика распространения импульса существенно меняется. На рис. 2, а, б показано изменение величин  $I/I_0$  и  $\delta n/n_0$  соответственно по  $\bar{r}$  и  $\bar{z}$  в различные моменты времени:  $t=0.3$  (сплошные линии), 1 (штриховые), 1.5

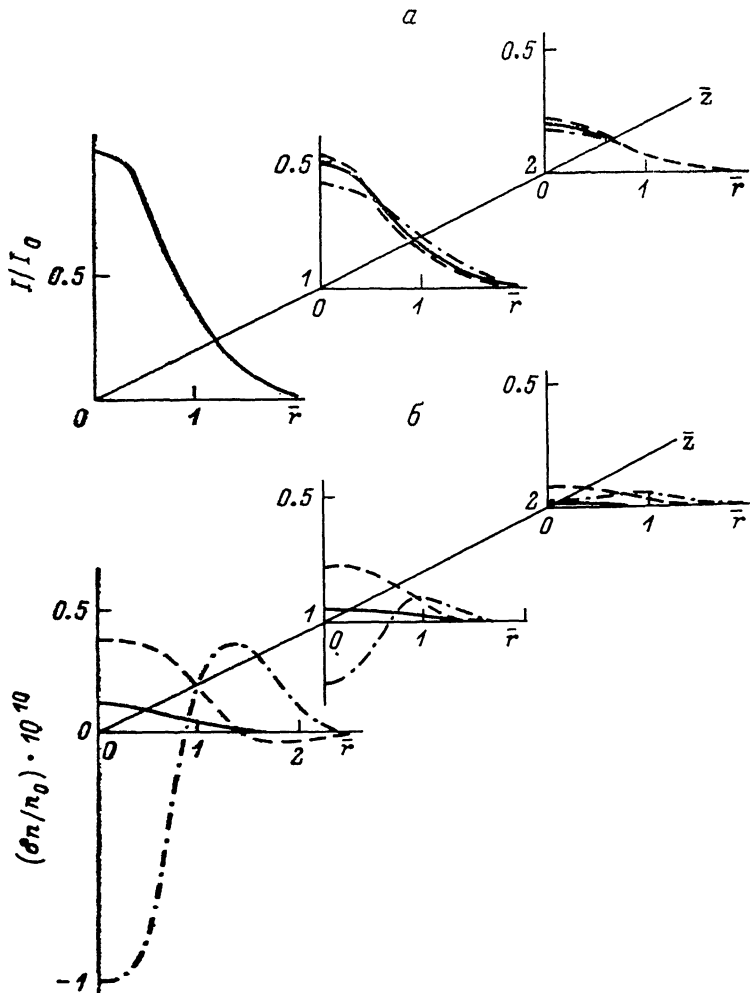


Рис. 2.

(штрихпунктир) для случая  $\tau_p \approx \tau_s$ . При тех же значениях  $v_I$ ,  $I_0$ ,  $a$ , что и прежде (изменение  $\tau_p$  моделировалось изменением давления  $p_0=0.25$  КПа,  $\tau_p=40.7$  мкс,  $\tau_s=50.1$  мкс,  $L_y=1100$  км), основную роль в формировании фокусирующей линзы играет изменение плотности среды, обусловленное охлаждением паров воды при поглощении излучения. Вследствие небольшой величины охлаждения, а следовательно, и  $\delta n$  самофокусировка в этом случае проявляется слабее, чем при  $\tau_s \gg \tau_p$ . Нагрев среды (здесь он начинает сказываться на  $\delta n$  уже при  $t \approx \tau_p$ ), как и при  $\tau_p \ll \tau_s$ , приводит к появлению области с  $\delta n < 0$ , уменьшению интенсивности на оси и формированию кольцевой структуры пучка.

Для излучения, поглощаемого на переходах с  $E_j'' - E_j + h\nu > 0$ , при  $\tau_p \gg \tau_s$  в канале луча очень быстро формируется дефокусирующая линза и кольцевая структура пучка образуется уже при  $t \geq 0.3\tau_s$ . Это иллюстрирует рис. 3, а, б, на котором показано изменение  $I/I_0$  и  $\delta n/n_0$  по  $r$  и  $\bar{z}$  при  $t=0.3$  (сплошные линии).

1 (штриховые), 1.5 (штрихпунктир) при распространении излучения с  $\nu_I = 3264.98 \text{ см}^{-1}$ ,  $I_0 = 1.1 \text{ ГВт/см}^2$  ( $a=2 \text{ см}$ ), поглощаемого на переходе 000 ( $4_{23}$ )  $\rightarrow$  020 ( $5_{14}$ ), ( $\nu_{mn}=3265.09 \text{ см}^{-1}$  и  $E_{j''}-E_j + h\Delta\nu > 0$ )  $\text{H}_2\text{O}$ , в среде  $\text{H}_2\text{O}-\text{N}_2-\text{O}_2=0.01 : 0.79 : 0.2$  с  $T_0=300 \text{ К}$  и  $p_0=0.25 \text{ КПа}$  (значение  $I_0$  выбрано из условия равенства  $\tau_I$  в этом и предыдущем случаях). Здесь  $L_D=976.2 \text{ м}$ ,  $L_v=1.3 \cdot 10^4 \text{ км}$  и  $\tau_p=40.4 \text{ мкс}$ . Поскольку  $L_v \gg L_D$ , то ясно, что уменьшение ин-

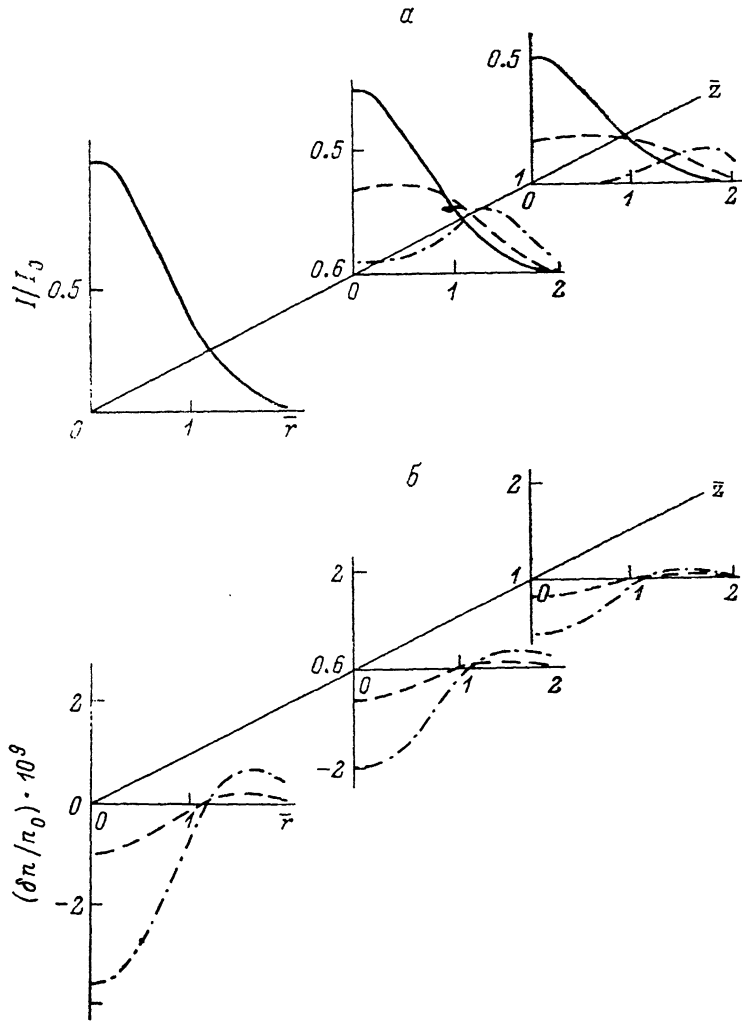


Рис. 3.

тенсивности на оси пучка при  $t > 0.3 \tau_p$  обусловлено только дефокусировкой воздействующего излучения.

Рассмотрим теперь влияние радиуса пучка на характер изменения интенсивности на оси. Увеличение  $a$  приводит, во-первых, к росту  $\tau_s$ , а следовательно, к меньшему влиянию изменения плотности среды на динамику фокусировки и, во-вторых, к увеличению  $L_D$ , т. е. при этом же значении длины фокусировки  $L_F$  (она от радиуса пучка не зависит) влияние дифракции скажется на больших расстояниях по длине трассы. На рис. 4 показано изменение величины  $I/I_0$  ( $I$ ) в сечениях горизонтальной трассы  $\bar{z}=0.5$  (штриховые линии), 1 (сплошные) при распространении излучения с  $\nu_I=3264.98 \text{ см}^{-1}$ ,  $I_0=100 \text{ МВт/см}^2$  в среде с  $p_0=10 \text{ КПа}$ ,  $T_0=300 \text{ К}$ ,  $\gamma_1=0.01$ ,  $\gamma_3=0.02$  для трех значений  $a=1, 2, 4 \text{ см}$  соответственно  $L_D=0.205$  (1), 0.82 (2), 3.3 км (3). Здесь  $\tau_p \approx 1 \text{ мкс}$  и для всех  $\tau_s \gg \tau_p$ .

Видно, что, изменяя апертуру пучка, можно смещать вдоль направления распространения сечение, в котором достигается максимальная плотность мощности

на оси пучка. Так, если при  $a=1$  и 2 см наибольшее значение  $I/I_0$  при  $\bar{t}=2-2.5$  достигается в сечении  $\bar{z}=0.5$ , то при  $a=4$  см в сечении  $\bar{z}=1$ .

Расчеты показали, что этого эффекта можно также достичь, изменяя интенсивность воздействующего излучения. Это позволяет осуществлять управление

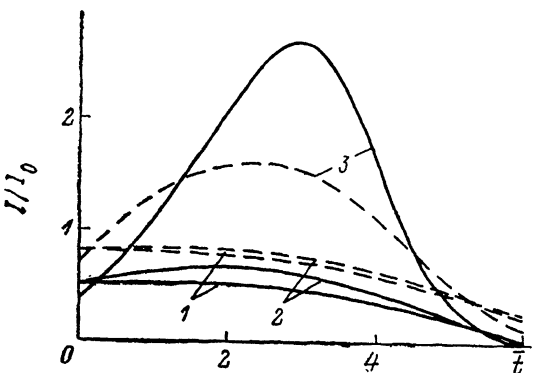


Рис. 4.

динамикой самовоздействия с целью уменьшения потерь энергии на рассеяние и получения максимальной плотности мощности в заданном сечении трассы.

#### Список литературы

- [1] Левин В. А., Сорокин А. А., Старик А. М. // Квантовая электрон. 1988. Т. 15. № 7. С. 1348—1356.
- [2] Ахманов С. А., Сухоруков А. П., Хохлов Р. В. // УФН. 1967. Т. 93. № 1. С. 19—70.
- [3] Лузовой В. П., Прохоров А. М. // УФН. 1973. Т. 111. С. 203—247.
- [4] Левин В. А., Сорокин А. А., Старик А. М. // ДАН СССР. 1987. Т. 293. № 6. С. 1364—1368.
- [5] Бутылкин В. С., Каплан А. Е. Хроногуло Ю. Г., Якубович Е. И. Резонансные взаимодействия света с веществом. М.: Наука, 1977.
- [6] Левин В. А., Сорокин А. А., Старик А. М. // ДАН СССР. 1989. Т. 304. № 5. С. 1070—1077.
- [7] Pandley P. K. K., Santry D. D. // J. Chem. Phys. 1980. Vol. 13. N 6. P. 2899—2901.
- [8] Стробен Д. Распространение лазерного пучка в атмосфере. М.: Мир, 1981. 414 с.
- [9] Самарский А. А. Теория разностных схем. М.: Наука, 1977.

Московский государственный  
университет им. М. В. Ломоносова  
Институт механики

Поступило в Редакцию  
8 января 1990 г.  
В окончательной редакции  
14 августа 1990 г.